

VO₂ 在 V-P-Fe系 CTR 的相变偏移分析

孙 健¹, 甘朝钦², 刘 英³, 吴宗汉²

(1 南京师范大学 电气与自动化工程学院, 江苏 南京 210042)

2. 东南大学 物理系, 江苏 南京 210096

3. 江苏兴顺电子元件厂, 江苏 扬州 225700)

[摘要] 实验表明, 在氧化钒中掺杂不同的物质与不同的比例制作的邻界热敏电阻 CTR (Critical Temperature Resistor) 样品的 VO₂ 相变点得到了提高, 发生了偏移, 这种偏移与掺杂成份与比例有一定的关系。根据样品对应的热谱图, 从样品成份中 VO₂, Fe₂O₃, P₂O₅ 微观结构分析各成份所起的作用。设计制作 3 种掺杂比例不同的样品, 比较其不同组份相变点的偏移。此方案得出, 在制作邻界热敏电阻 CTR 时各组份相互牵制相互影响的关系。VO₂ 的相对量与相变点温度成正比关系; P₂O₅ 的相对量影响 VO₂ 微晶的稳定, 也会影响 Fe₂O₃ 的变价和电子的传导, 从而影响 VO₂ 的相变; Fe₂O₃ 的量与 VO₂ 导体性能成正比关系, 相对量大, 相变点温度将降低。

[关键词] CTR, P₂O₅, Fe₂O₃, VO₂, 相变

[中图分类号] TP 212 [文献标识码] A [文章编号] 1672-1292(2009)02-0005-03

Analysis of VO₂ Phase Transitions of V-P-Fe in C. T. RS

Sun Jian¹, Gan Chaoqin², Liu Yin³, Wu Zonghan²

(1. School of Electrical and Automation Engineering Nanjing Normal University, Nanjing 210042, China)

2. Department of Physics Southeast University, Nanjing 210096, China

3. Jiangsu Xingshun Electronics Device Ltd Yangzhou 225700, China)

Abstract The experiment shows that VO₂ phase transition points of CTR (Critical Temperature Resistor) samples produced by Vanadium oxide doped in different materials with different proportions have been raised, and excursion occurred, and this excursion is related to the doped elements and their proportions. According to the thermal spectrum corresponded to by the sample, different roles played by the elements are analyzed from the micro-structures of VO₂, Fe₂O₃, P₂O₅ in sample elements. Components from sample analysis of the components of the role of. Design ratio of Three samples with different doped proportions are designed and produced and the excursions of phase transition points in their different groups are compared. It follows from this program that in the production of them is to CTR, each group has mutual influence on each other. The relative amount of VO₂ phase transition temperature is directly proportional to the relationship, the relative volume of P₂O₅ has the impact on VO₂ Microcrystalline stability and also on the price of Fe₂O₃ and electronic conduction, thus affecting the phase-change of VO₂; the volume of Fe₂O₃ is directly proportional to conductivity of VO₂, i.e., the larger the relatively amount, the lower the phase transition temperature.

Key words CTR, P₂O₅, Fe₂O₃, VO₂, phase change

二氧化钒(VO₂)在 68℃左右发生半导体–金属的可逆相变, 从低温的单斜结构变化到高温的四方结构。在发生相变的过程中, VO₂的电阻率、红外光透过率会出现突变, 利用这种特性, VO₂在光电开关、热敏电阻、节能窗玻璃等众多的领域具有良好的应用前景^[1-3]。因而如何降低或改变 VO₂的相变临界点, 成为 VO₂ 应用研究的一个重点。通过掺杂的方式来改变相变温度是常见的方法之一。

V-P-Fe系 CTR^[4]是由 3 种氧化物: 氧化钒(V₂O₅ → VO₂)、五氧化二磷(P₂O₅)和三氧化二铁(Fe₂O₃)按一定比例混合并经高温烧结后制成, 是具有临界特性的负电阻温度系数的热敏电阻。其相变温度因掺杂而改变, 且材料的比例不同也使得相变温度发生偏移。为此, 我们制作了 3 种不同的样品, 对此进行热谱分析, 从微观角度分析其成分, 找出不同掺杂比例对氧化钒相变温度的影响。图 4 是 3 种 CTR 的 DSC 热分析

收稿日期: 2008-10-16

基金项目: 国家自然科学基金(2005111GZ3B341)资助项目。

通讯联系人: 孙 健, 副教授, 研究方向: 传感器元件的研究与开发。E-mail sunjian@njnu.edu.cn

曲线,表1为3种样品成分配料组份比和对应的相变点.

1 CTR成份分析

1.1 VO₂与相变

在制备CTR的烧结过程中, V₂O₅被部分还原为VO₂,形成VO₂微晶. 在不同温度下VO₂其晶系是不同的, 在340K以上时, VO₂单晶是规则的四方晶系金红石结构, 当温度降至340K以下时, VO₂的晶格发生畸变, 转变为单斜结构, V⁴⁺离子的位置沿直于C轴的方向发生偏移, 如图1所示. 在晶格场的作用下V⁴⁺的外层电子在不同方向受到O²⁻离子的静电力不同而产生偏移, 在沿V-O键的轴向上, 电子受到O²⁻离子静电排斥力最大; 在其它方向上所受的静电力就相应小一些. V⁴⁺产生偏移后由于静电力的改变将促使其3d带产生分裂出现新的禁带, 从而导致VO₂由导体转变为半导体. 即VO₂在特定温度(340K)附近发生相变^[5-7].

1.2 Fe₂O₃与杂质缺陷

在制造CTR的过程中, 经过烧结, Fe₂O₃被还原成Fe₃O₄, Fe₃O₄是反尖晶石结构氧化物, 其结构分子式可表示为: AB₂O₄[8Fe³⁺(8Fe²⁺8Fe³⁺)32O²⁻], 其晶胞中包括8个Fe²⁺离子, 16个Fe³⁺离子和32个O²⁻离子. 其结构如图2所示.

Fe₂O₃其作用除了在烧结时与P₂O₅一起形成玻璃相, 把VO₂微晶粘结起来, 起稳定性作用外, 主要是以杂质身份出现的. 当VO₂晶体中因溶入不同化学成分的Fe₃O₄时, 必然会有些“杂质离子”Fe³⁺或Fe²⁺取代原有V⁴⁺离子的晶格位置, 它就成为低价替位杂质离子, 这就改变了VO₂晶体的微观结构状态, 从而影响晶体的各种物理化学性能、电性能和相变.

1.3 P₂O₅与晶粒体

固体P₂O₅烧结前为六方晶系, 属亚稳定型. 经过烧结转变为正方晶系, 烧结前还是烧结后, 都是绝缘体. P₂O₅在CTR中以自身形成的玻璃相, 把VO₂微晶、Fe₃O₄、P₂O₅三者粘结起来形成晶粒体^[8-10]. P₂O₅起着缓和VO₂微晶的相变引起的形变, 改善了晶粒体的稳定性. 在晶粒体中, VO₂微晶由于其相变的缘故, 使晶粒体在高温态($T > T_c$)呈金属性, 在低温态($T < T_c$)则转变为半导体, 如图3所示.

2 样品配料与热谱图

2.1 样品配料

CTR产品制备所用原材料: 化学纯五氧化二钒V₂O₅, 分析纯五氧化二磷P₂O₅, 化学纯三氧化二铁Fe₂O₃, 分析纯无水乙醇、聚乙烯醇溶液和去离子水.

为了分析研究不同的配方组份比对相变的影响, 拟订了3种配方的组份比, 进行试制. 其样品不同的配料组份比如表1所示.

2.2 热谱图

热谱图的测量是用PERK N-EIMER公司生产的

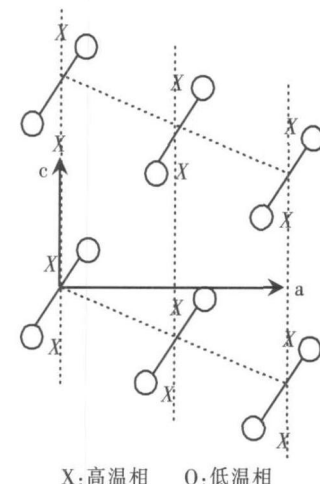


图1 金红石结构V⁴⁺的高低温偏移

Fig.1 Rutile structure under high temperature and low-temperature

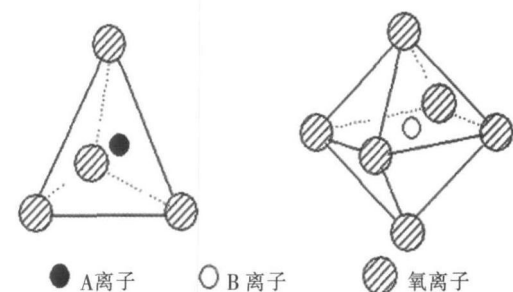


图2 金属离子在氧离子间隙的位置

Fig.2 Metallic ion in oxygen ion gap position

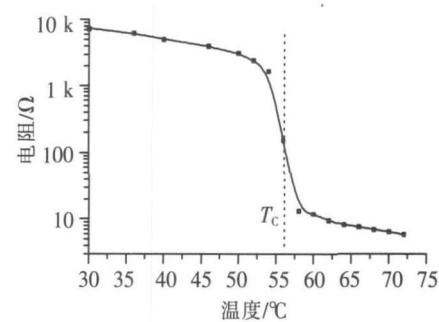


图3 CTR阻温特性曲线

Fig.3 CTR resistance-temperature curve

Table 1 Three kind of sample ingredient component ratio

	V ₂ O ₅ /%	P ₂ O ₅ /%	Fe ₂ O ₃ /%	T _c /°C
1	1	70	20	62 01
2	2	60	20	58 82
2	2	50	25	56 79

功率补偿型 Diamond DSC 差示扫描量热仪。

主要技术指标: 温度范围为 $-170 \sim 725^\circ\text{C}$; 升降温速率为 $0.01 \sim 500^\circ\text{C}/\text{min}$ 可调; 控温精度为优于 0.1°C ; 量热精度: 优于 0.1% 。样品测量的热谱图如图 4 所示。

3条曲线具有不同的相变温度, 1号样品 $T_{c1} = 56.79^\circ\text{C}$, 2号样品 $T_{c2} = 58.82^\circ\text{C}$, 3号样品 $T_{c3} = 62.01^\circ\text{C}$ 。可以看出不同的配料比其对应的相变温度有所不同。

3 结语

材料组份比的不同, 将导致产品相变点的改变, 特别对于氧化物材料更是如此, 它们中的多数不能形成稳定的尖晶石结构, 只能形成各种多晶氧化物的机械混合物, 随组份比波动而发生改变, 对热处理敏感。从 3种样品的热谱图及其组成材料的微观分析得知, 各组份之间相互牵制相互影响。 VO_2 的相对量与相变点温度成正比关系。 P_2O_5 的相对量影响 VO_2 微晶的稳定, 也会影响 Fe_2O_3 的变价和电子的传导, 从而影响 VO_2 的相变。 Fe_2O_3 的量与 VO_2 导体性能成反比关系, 相对量大, 相变点温度将提高。

[参考文献] (References)

- [1] Rata A D, Chezan A R. 化学控制氧化钒薄膜性能 [J]. 物理学评论 B, 2004, 7(69): 1-10
Rata A D, Chezan A R. Growth and properties of strained VO_x thin films with controlled stoichiometry [J]. Physical Review B, 2004, 7(69): 1-10 (in Chinese)
- [2] 吴卫和, 王德平, 黄文. 掺杂与热处理温度对 VO_2 薄膜性能的影响 [J]. 建筑材料学报, 2006, 32(5): 9-13.
Wu Weihuo, Wang Deping, Huang Wen. Property of VO_2 thin film affected by doping and treatment temperature [J]. Journal of Building Materials, 2006, 32(5): 9-13. (in Chinese)
- [3] 黄维刚, 林华. 掺 Mo 纳米 VO_2 粉体的相变特性研究 [J]. 稀有金属材料与工程, 2006, 35(10): 1554-1556
Huang Weigang, Lin Hua. Study of phase transition characters of molybdenum-doped nanosized VO_2 powders [J]. Rare Metal Materials and Engineering, 2006, 35(10): 1554-1556 (in Chinese)
- [4] 孙健, 甘朝钦. V-P-Fe系 CTR 的研制 [J]. 应用科学学报, 2000, 18(2): 186-188
Sun Jian, Gan Chaoqin. Fabrication and characteristic study of V-P-Fe CTR [J]. Journal of Applied Science, 2000, 18(2): 186-188 (in Chinese)
- [5] 王惠, 甘朝钦. V-P-Fe系 CTR 的导电模型 [J]. 南京师范大学学报: 工程技术版, 2005, 5(4): 1-3
Wang Hui, Gan Chaoqin. The electric conduction model of V-P-Fe CTR [J]. Journal of Nanjing Normal University Engineering and Technology Edition, 2005, 5(4): 1-3. (in Chinese)
- [6] 赵力丁, 吴志明. 氧化钒薄膜的掺锆实验研究 [J]. 实验科学与技术, 2006, 16(4): 113-116
Zhao Liding, Wu Zhiming. Experiment and research of VO_x thin films doped with zirconium [J]. Experimental Science and Technology, 2006, 16(4): 113-116. (in Chinese)
- [7] 胡再勇, 徐楚韶. VO_2 薄膜相变及其温度滞后 [J]. 过程工程学报, 2003, 2(10): 421-424
Hu Zaiyong, Xu Chushao. Phase transition and transition temperature hysteresis of VO_2 thin film [J]. The Chinese Journal of Process Engineering, 2003, 2(10): 421-424. (in Chinese)
- [8] 郭宁, 徐彩玲. VO_2 粉末的制备及其相变性能研究 [J]. 钢铁钒钛, 2004, 25(9): 26-29
Guo Ning, Xu Cailing. Preparation of VO_2 powder and its phase transition characteristics [J]. Iron Steel Vanadium Titanium, 2004, 25(9): 26-29. (in Chinese)
- [9] 陈泳, 张凯锋. 一种制备掺杂纳米 VO_2 的新方法 [J]. 甘肃科学学报, 2006, 18(6): 38-40
Chen Yong, Zhang Kaifeng. A new method for the preparation of doped VO_2 nanopowders [J]. Journal of Gansu Sciences, 2006, 18(6): 38-40. (in Chinese)
- [10] 谢太斌, 李金华. 二氧化钒多晶薄膜的掺杂改性 [J]. 红外技术, 2005, 27(9): 393-398
Xie Taibin, Li Jinhua. Modification of polycrystalline vanadium dioxide film by doping methods [J]. Infrared Technology, 2005, 27(9): 393-398. (in Chinese)

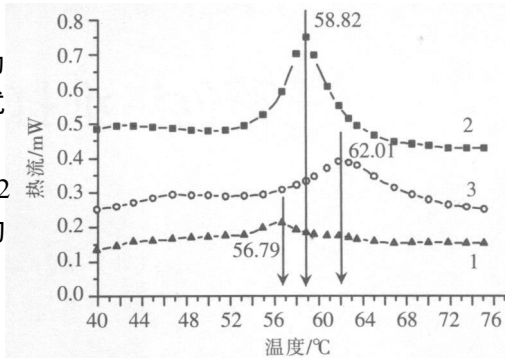


图 4 3 种样品 DSC 热谱图

Fig.4 DSC thermal spectra of three samples

[责任编辑: 刘健]